

Eingabe: Farbmimetrisches Fernseh-Licht-System TLS70

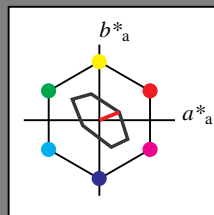
für Buntton  $h^* = lab^*h = 22/360 = 0.061$

$lab^*tch$  und  $lab^*nch$

D65: Buntton O

LCH\*Ma: 76 28 22

olv\*Ma: 1.0 0.0 0.0



TLS70; adaptierte CIELAB-Daten					
	$L^*=L^*_a$	$a^*_a$	$b^*_a$	$C^*_{ab,a}$	$h^*_{ab,a}$
O <sub>Ma</sub>	76.43	26.27	10.57	28.32	22
Y <sub>Ma</sub>	93.93	-10.76	34.63	36.27	107
L <sub>Ma</sub>	89.32	-35.8	27.64	45.24	142
C <sub>Ma</sub>	90.93	-21.95	-7.07	23.07	198
V <sub>Ma</sub>	72.1	15.76	-35.63	38.97	294
M <sub>Ma</sub>	78.5	37.52	-25.23	45.22	326
N <sub>Ma</sub>	69.7	0.0	0.0	0.0	0
W <sub>Ma</sub>	95.41	0.0	0.0	0.0	0
R <sub>CIE</sub>	39.92	58.74	27.99	65.07	25
J <sub>CIE</sub>	81.26	-2.88	71.56	71.62	92
G <sub>CIE</sub>	52.23	-42.41	13.6	44.55	162
B <sub>CIE</sub>	30.57	1.41	-46.46	46.49	272

Dreiecks-Helligkeit  $t^*$

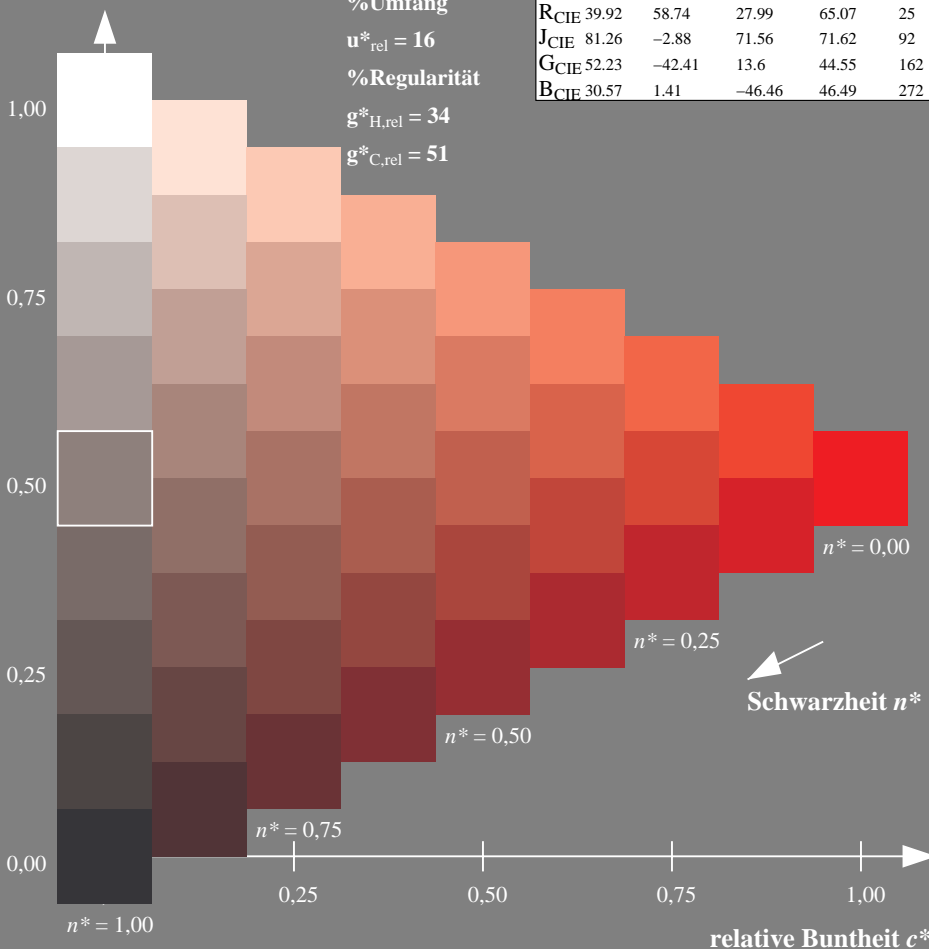
%Umfang

$u^*_{rel} = 16$

%Regularität

$g^*_{H,rel} = 34$

$g^*_{C,rel} = 51$



OG990-7, 9stufige Reihen für konstanten CIELAB Buntton 22/360 = 0.061 (links)

BAM-Prüfvorlage OG99; Farbmimetrik-Systeme TLS70 & TLS70 input:  $cmY0^* setcmykcolor$

D65: 9 und 16stufige Farbreihen für 10 Bunttöne

Ausgabe: Farbmimetrisches Fernseh-Licht-System TLS70

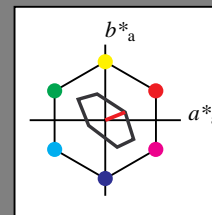
für Buntton  $h^* = lab^*h = 22/360 = 0.061$

$lab^*tch$  und  $lab^*nch$

D65: Buntton O

LCH\*Ma: 76 28 22

olv\*Ma: 1.0 0.0 0.0



TLS70; adaptierte CIELAB-Daten					
	$L^*=L^*_a$	$a^*_a$	$b^*_a$	$C^*_{ab,a}$	$h^*_{ab,a}$
O <sub>Ma</sub>	76.43	26.27	10.57	28.32	22
Y <sub>Ma</sub>	93.93	-10.76	34.63	36.27	107
L <sub>Ma</sub>	89.32	-35.8	27.64	45.24	142
C <sub>Ma</sub>	90.93	-21.95	-7.07	23.07	198
V <sub>Ma</sub>	72.1	15.76	-35.63	38.97	294
M <sub>Ma</sub>	78.5	37.52	-25.23	45.22	326
N <sub>Ma</sub>	69.7	0.0	0.0	0.0	0
W <sub>Ma</sub>	95.41	0.0	0.0	0.0	0
R <sub>CIE</sub>	39.92	58.74	27.99	65.07	25
J <sub>CIE</sub>	81.26	-2.88	71.56	71.62	92
G <sub>CIE</sub>	52.23	-42.41	13.6	44.55	162
B <sub>CIE</sub>	30.57	1.41	-46.46	46.49	272

Dreiecks-Helligkeit  $t^*$

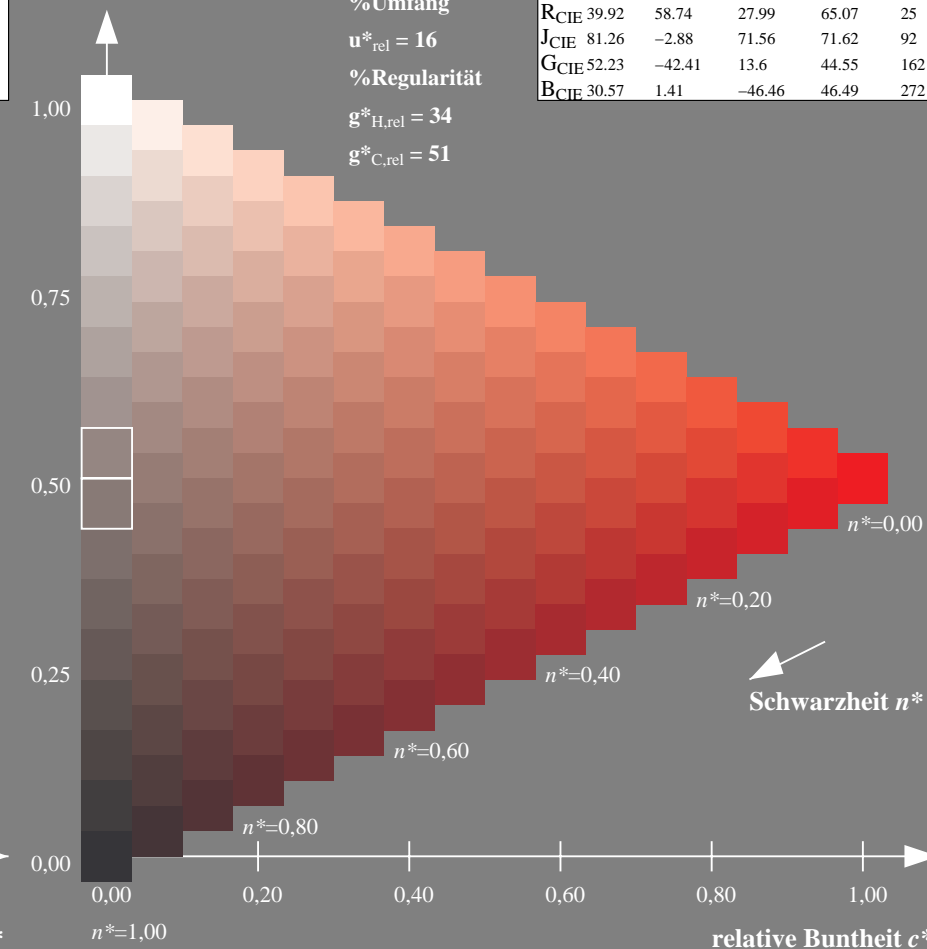
%Umfang

$u^*_{rel} = 16$

%Regularität

$g^*_{H,rel} = 34$

$g^*_{C,rel} = 51$



16stufige Reihen für konstanten CIELAB Buntton 22/360 = 0.061 (rechts)

output: no change compared to input

Eingabe: Farbmimetrisches Fernseh-Licht-System TLS70

für Buntton  $h^* = lab^*h = 107/360 = 0.298$

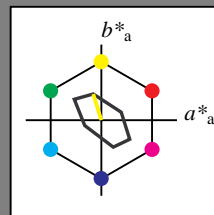
$lab^*tch$  und  $lab^*nch$

D65: Buntton Y

LCH\*Ma: 94 36 107

olv\*Ma: 1.0 1.0 0.0

Dreiecks-Helligkeit  $t^*$



%Umfang

$u^*_{rel} = 16$

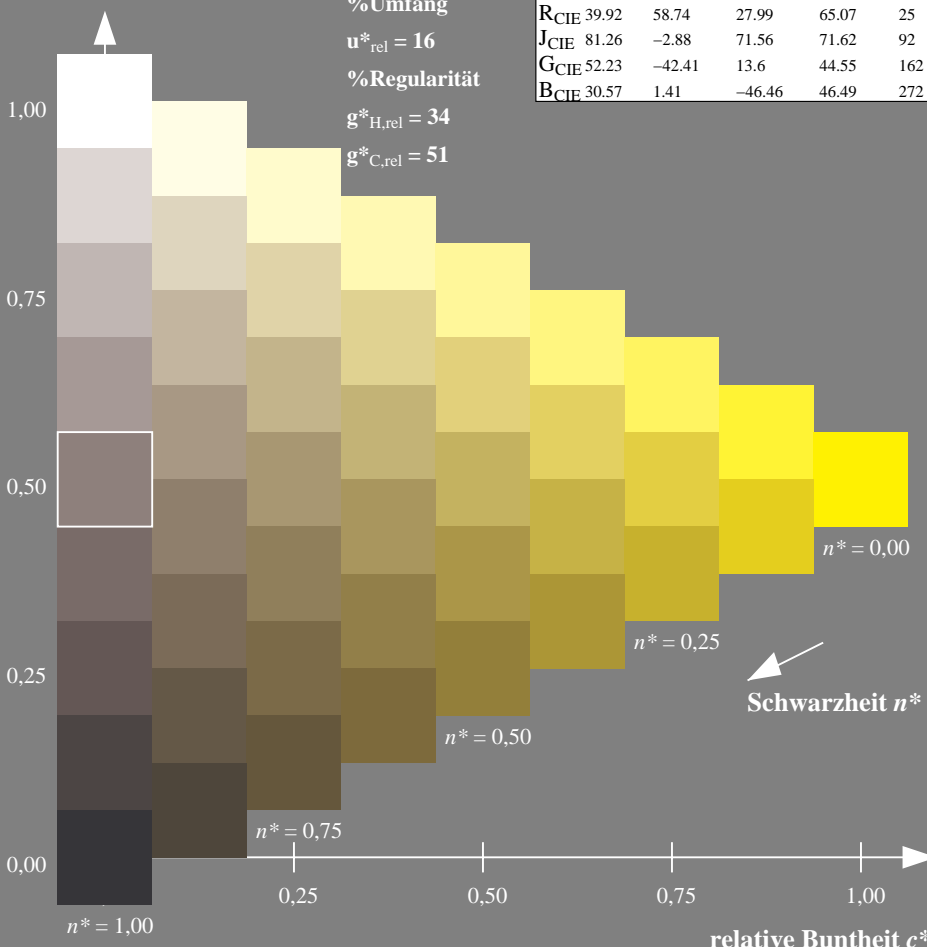
%Regularität

$g^*_{H,rel} = 34$

$g^*_{C,rel} = 51$

TLS70; adaptierte CIELAB-Daten

	$L^*=L^*_a$	$a^*_a$	$b^*_a$	$C^*_{ab,a}$	$h^*_{ab,a}$
O <sub>Ma</sub>	76.43	26.27	10.57	28.32	22
Y <sub>Ma</sub>	93.93	-10.76	34.63	36.27	107
L <sub>Ma</sub>	89.32	-35.8	27.64	45.24	142
C <sub>Ma</sub>	90.93	-21.95	-7.07	23.07	198
V <sub>Ma</sub>	72.1	15.76	-35.63	38.97	294
M <sub>Ma</sub>	78.5	37.52	-25.23	45.22	326
N <sub>Ma</sub>	69.7	0.0	0.0	0.0	0
W <sub>Ma</sub>	95.41	0.0	0.0	0.0	0
R <sub>CIE</sub>	39.92	58.74	27.99	65.07	25
J <sub>CIE</sub>	81.26	-2.88	71.56	71.62	92
G <sub>CIE</sub>	52.23	-42.41	13.6	44.55	162
B <sub>CIE</sub>	30.57	1.41	-46.46	46.49	272



OG990-7, 9stufige Reihen für konstanten CIELAB Buntton 107/360 = 0.298 (links)

BAM-Prüfvorlage OG99; Farbmimetrik-Systeme TLS70 & TLS70 input: *cmY0\* setcmykcolor*

D65: 9 und 16stufige Farbreihen für 10 Bunttöne

Ausgabe: Farbmimetrisches Fernseh-Licht-System TLS70

für Buntton  $h^* = lab^*h = 107/360 = 0.298$

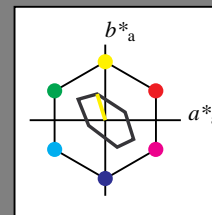
$lab^*tch$  und  $lab^*nch$

D65: Buntton Y

LCH\*Ma: 94 36 107

olv\*Ma: 1.0 1.0 0.0

Dreiecks-Helligkeit  $t^*$



%Umfang

$u^*_{rel} = 16$

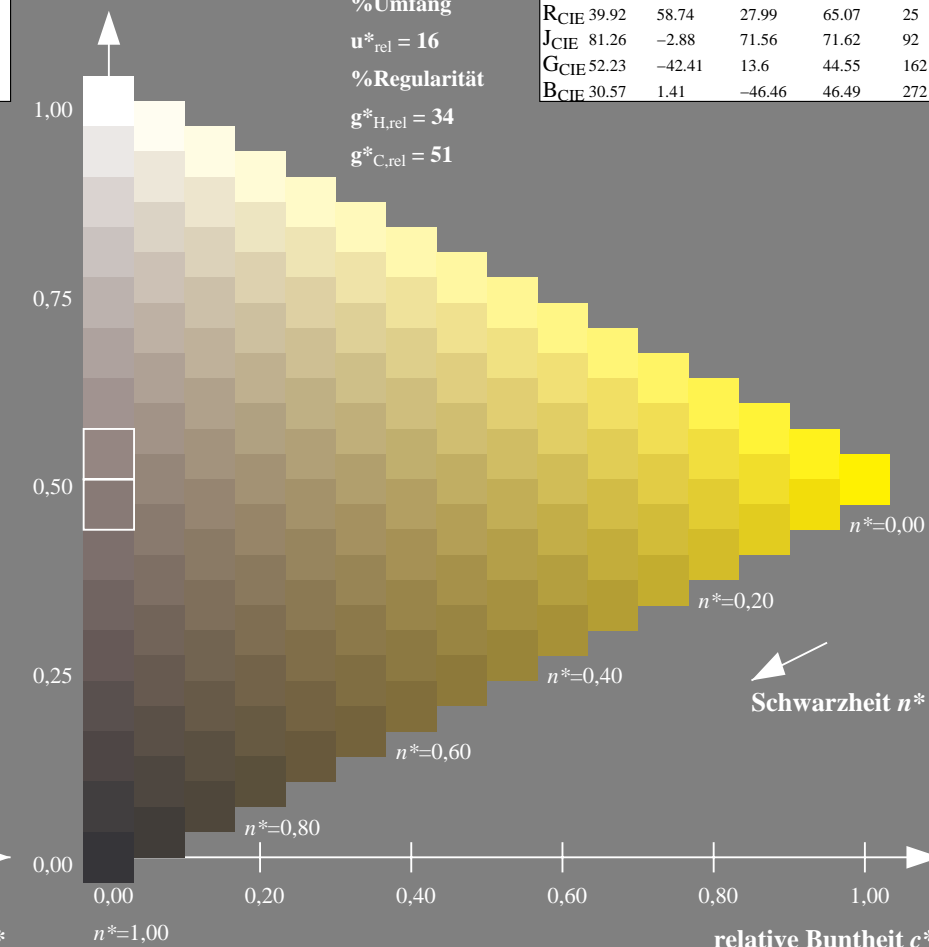
%Regularität

$g^*_{H,rel} = 34$

$g^*_{C,rel} = 51$

TLS70; adaptierte CIELAB-Daten

	$L^*=L^*_a$	$a^*_a$	$b^*_a$	$C^*_{ab,a}$	$h^*_{ab,a}$
O <sub>Ma</sub>	76.43	26.27	10.57	28.32	22
Y <sub>Ma</sub>	93.93	-10.76	34.63	36.27	107
L <sub>Ma</sub>	89.32	-35.8	27.64	45.24	142
C <sub>Ma</sub>	90.93	-21.95	-7.07	23.07	198
V <sub>Ma</sub>	72.1	15.76	-35.63	38.97	294
M <sub>Ma</sub>	78.5	37.52	-25.23	45.22	326
N <sub>Ma</sub>	69.7	0.0	0.0	0.0	0
W <sub>Ma</sub>	95.41	0.0	0.0	0.0	0
R <sub>CIE</sub>	39.92	58.74	27.99	65.07	25
J <sub>CIE</sub>	81.26	-2.88	71.56	71.62	92
G <sub>CIE</sub>	52.23	-42.41	13.6	44.55	162
B <sub>CIE</sub>	30.57	1.41	-46.46	46.49	272



16stufige Reihen für konstanten CIELAB Buntton 107/360 = 0.298 (rechts)

output: *no change compared to input*

Eingabe: Farbmimetrisches Fernseh-Licht-System TLS70

für Buntton  $h^* = lab^*h = 142/360 = 0.395$

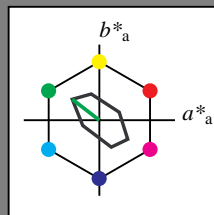
$lab^*tch$  und  $lab^*nch$

D65: Buntton L

LCH\*Ma: 89 45 142

olv\*Ma: 0.0 1.0 0.0

Dreiecks-Helligkeit  $t^*$



%Umfang

$u^*_{rel} = 16$

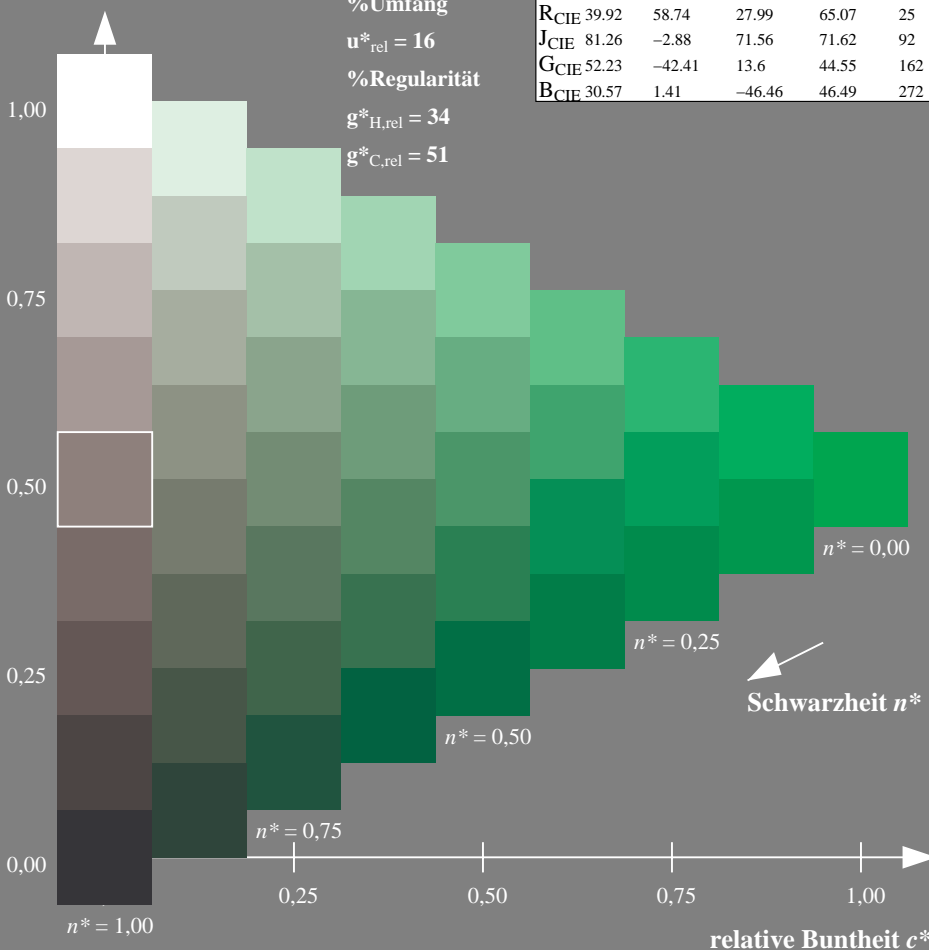
%Regularität

$g^*_{H,rel} = 34$

$g^*_{C,rel} = 51$

TLS70; adaptierte CIELAB-Daten

	$L^*=L^*_a$	$a^*_a$	$b^*_a$	$C^*_{ab,a}$	$h^*_{ab,a}$
O <sub>Ma</sub>	76.43	26.27	10.57	28.32	22
Y <sub>Ma</sub>	93.93	-10.76	34.63	36.27	107
L <sub>Ma</sub>	89.32	-35.8	27.64	45.24	142
C <sub>Ma</sub>	90.93	-21.95	-7.07	23.07	198
V <sub>Ma</sub>	72.1	15.76	-35.63	38.97	294
M <sub>Ma</sub>	78.5	37.52	-25.23	45.22	326
N <sub>Ma</sub>	69.7	0.0	0.0	0.0	0
W <sub>Ma</sub>	95.41	0.0	0.0	0.0	0
R <sub>CIE</sub>	39.92	58.74	27.99	65.07	25
J <sub>CIE</sub>	81.26	-2.88	71.56	71.62	92
G <sub>CIE</sub>	52.23	-42.41	13.6	44.55	162
B <sub>CIE</sub>	30.57	1.41	-46.46	46.49	272



OG990-7, 9stufige Reihen für konstanten CIELAB Buntton 142/360 = 0.395 (links)

Ausgabe: Farbmimetrisches Fernseh-Licht-System TLS70

für Buntton  $h^* = lab^*h = 142/360 = 0.395$

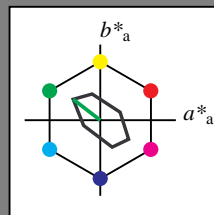
$lab^*tch$  und  $lab^*nch$

D65: Buntton L

LCH\*Ma: 89 45 142

olv\*Ma: 0.0 1.0 0.0

Dreiecks-Helligkeit  $t^*$



%Umfang

$u^*_{rel} = 16$

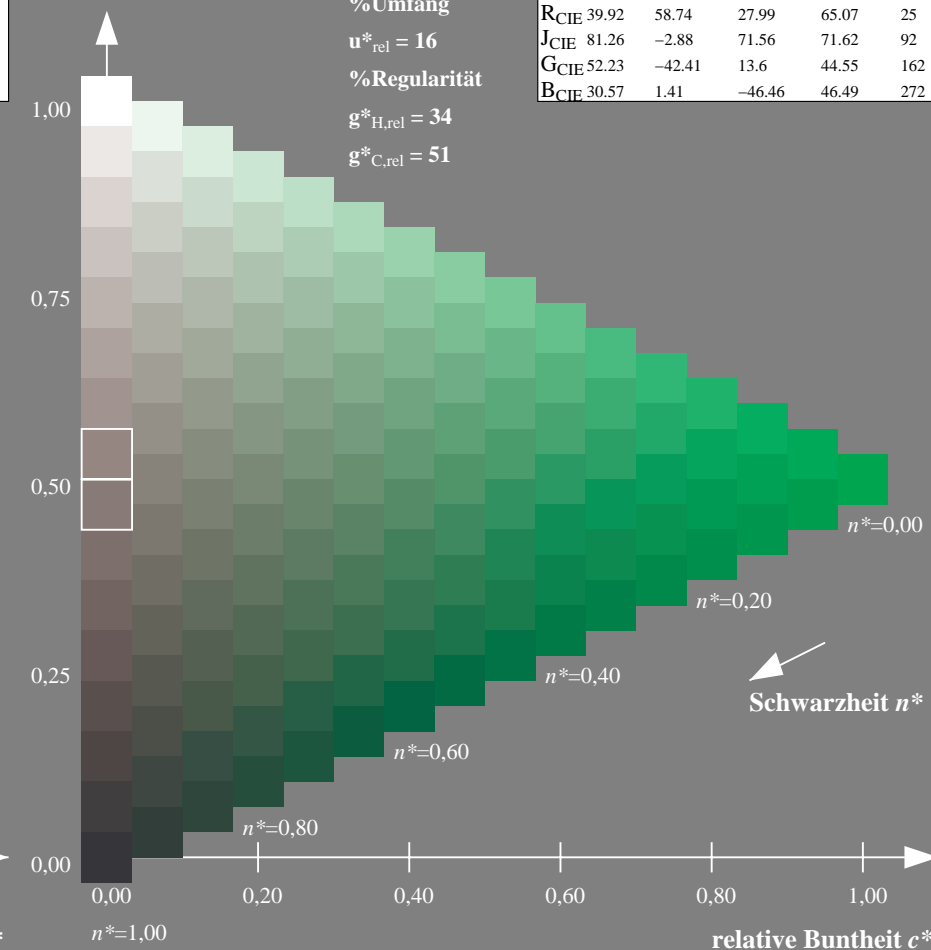
%Regularität

$g^*_{H,rel} = 34$

$g^*_{C,rel} = 51$

TLS70; adaptierte CIELAB-Daten

	$L^*=L^*_a$	$a^*_a$	$b^*_a$	$C^*_{ab,a}$	$h^*_{ab,a}$
O <sub>Ma</sub>	76.43	26.27	10.57	28.32	22
Y <sub>Ma</sub>	93.93	-10.76	34.63	36.27	107
L <sub>Ma</sub>	89.32	-35.8	27.64	45.24	142
C <sub>Ma</sub>	90.93	-21.95	-7.07	23.07	198
V <sub>Ma</sub>	72.1	15.76	-35.63	38.97	294
M <sub>Ma</sub>	78.5	37.52	-25.23	45.22	326
N <sub>Ma</sub>	69.7	0.0	0.0	0.0	0
W <sub>Ma</sub>	95.41	0.0	0.0	0.0	0
R <sub>CIE</sub>	39.92	58.74	27.99	65.07	25
J <sub>CIE</sub>	81.26	-2.88	71.56	71.62	92
G <sub>CIE</sub>	52.23	-42.41	13.6	44.55	162
B <sub>CIE</sub>	30.57	1.41	-46.46	46.49	272



16stufige Reihen für konstanten CIELAB Buntton 142/360 = 0.395 (rechts)

BAM-Prüfvorlage OG99; Farbmimetrik-Systeme TLS70 & TLS70 input:  $cmY0^* setcmykcolor$

D65: 9 und 16stufige Farbreihen für 10 Bunttöne

output: no change compared to input

Eingabe: Farbmétrisches Fernseh-Licht-System TLS70

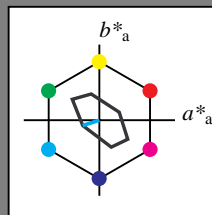
für Buntton  $h^* = lab^*h = 198/360 = 0.55$

$lab^*tch$  und  $lab^*nch$

D65: Buntton C

LCH\*Ma: 91 23 198

olv\*Ma: 0.0 1.0 1.0



TLS70; adaptierte CIELAB-Daten					
	$L^*=L^*_a$	$a^*_a$	$b^*_a$	$C^*_{ab,a}$	$h^*_{ab,a}$
O <sub>Ma</sub>	76.43	26.27	10.57	28.32	22
Y <sub>Ma</sub>	93.93	-10.76	34.63	36.27	107
L <sub>Ma</sub>	89.32	-35.8	27.64	45.24	142
C <sub>Ma</sub>	90.93	-21.95	-7.07	23.07	198
V <sub>Ma</sub>	72.1	15.76	-35.63	38.97	294
M <sub>Ma</sub>	78.5	37.52	-25.23	45.22	326
N <sub>Ma</sub>	69.7	0.0	0.0	0.0	0
W <sub>Ma</sub>	95.41	0.0	0.0	0.0	0
R <sub>CIE</sub>	39.92	58.74	27.99	65.07	25
J <sub>CIE</sub>	81.26	-2.88	71.56	71.62	92
G <sub>CIE</sub>	52.23	-42.41	13.6	44.55	162
B <sub>CIE</sub>	30.57	1.41	-46.46	46.49	272

Dreiecks-Helligkeit  $t^*$

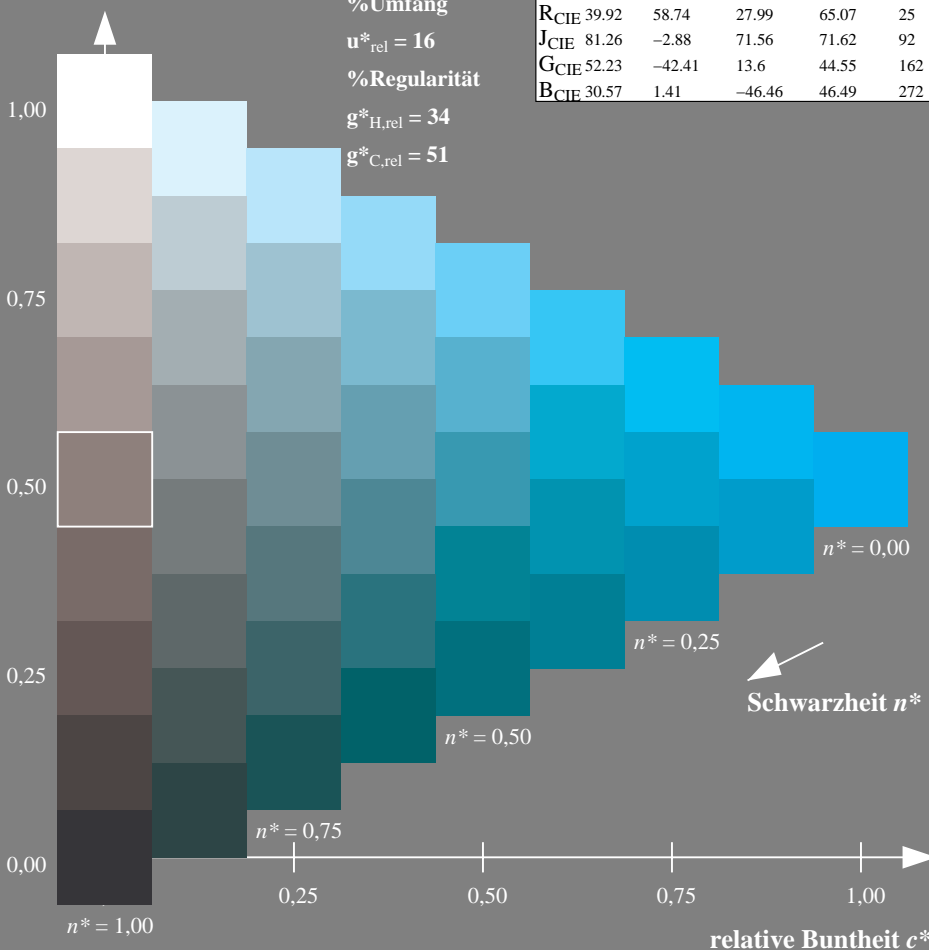
%Umfang

$u^*_{rel} = 16$

%Regularität

$g^*_{H,rel} = 34$

$g^*_{C,rel} = 51$



OG990-7, 9stufige Reihen für konstanten CIELAB Buntton 198/360 = 0.55 (links)

BAM-Prüfvorlage OG99; Farbmétrik-Systeme TLS70 & TLS70 input:  $cmY0^* setcmykcolor$

D65: 9 und 16stufige Farbreihen für 10 Bunttöne

Ausgabe: Farbmétrisches Fernseh-Licht-System TLS70

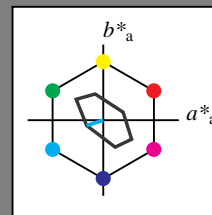
für Buntton  $h^* = lab^*h = 198/360 = 0.55$

$lab^*tch$  und  $lab^*nch$

D65: Buntton C

LCH\*Ma: 91 23 198

olv\*Ma: 0.0 1.0 1.0



TLS70; adaptierte CIELAB-Daten					
	$L^*=L^*_a$	$a^*_a$	$b^*_a$	$C^*_{ab,a}$	$h^*_{ab,a}$
O <sub>Ma</sub>	76.43	26.27	10.57	28.32	22
Y <sub>Ma</sub>	93.93	-10.76	34.63	36.27	107
L <sub>Ma</sub>	89.32	-35.8	27.64	45.24	142
C <sub>Ma</sub>	90.93	-21.95	-7.07	23.07	198
V <sub>Ma</sub>	72.1	15.76	-35.63	38.97	294
M <sub>Ma</sub>	78.5	37.52	-25.23	45.22	326
N <sub>Ma</sub>	69.7	0.0	0.0	0.0	0
W <sub>Ma</sub>	95.41	0.0	0.0	0.0	0
R <sub>CIE</sub>	39.92	58.74	27.99	65.07	25
J <sub>CIE</sub>	81.26	-2.88	71.56	71.62	92
G <sub>CIE</sub>	52.23	-42.41	13.6	44.55	162
B <sub>CIE</sub>	30.57	1.41	-46.46	46.49	272

Dreiecks-Helligkeit  $t^*$

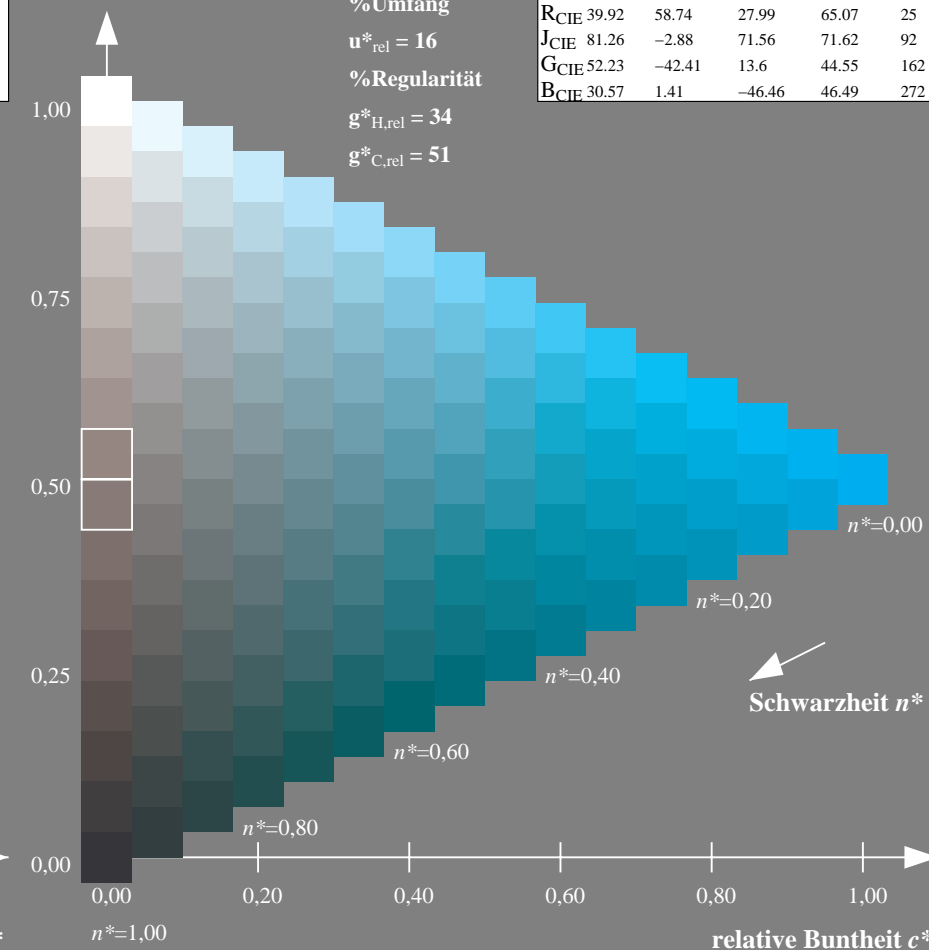
%Umfang

$u^*_{rel} = 16$

%Regularität

$g^*_{H,rel} = 34$

$g^*_{C,rel} = 51$



16stufige Reihen für konstanten CIELAB Buntton 198/360 = 0.55 (rechts)

output: no change compared to input

Eingabe: Farbmimetrisches Fernseh-Licht-System TLS70

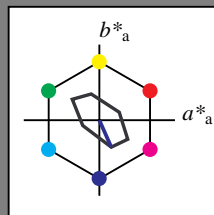
für Buntton  $h^* = lab^*h = 294/360 = 0.816$

$lab^*tch$  und  $lab^*nch$

D65: Buntton V

LCH\*Ma: 72 39 294

olv\*Ma: 0.0 0.0 1.0



TLS70; adaptierte CIELAB-Daten					
	$L^*=L^*_a$	$a^*_a$	$b^*_a$	$C^*_{ab,a}$	$h^*_{ab,a}$
O <sub>Ma</sub>	76.43	26.27	10.57	28.32	22
Y <sub>Ma</sub>	93.93	-10.76	34.63	36.27	107
L <sub>Ma</sub>	89.32	-35.8	27.64	45.24	142
C <sub>Ma</sub>	90.93	-21.95	-7.07	23.07	198
V <sub>Ma</sub>	72.1	15.76	-35.63	38.97	294
M <sub>Ma</sub>	78.5	37.52	-25.23	45.22	326
N <sub>Ma</sub>	69.7	0.0	0.0	0.0	0
W <sub>Ma</sub>	95.41	0.0	0.0	0.0	0
R <sub>CIE</sub>	39.92	58.74	27.99	65.07	25
J <sub>CIE</sub>	81.26	-2.88	71.56	71.62	92
G <sub>CIE</sub>	52.23	-42.41	13.6	44.55	162
B <sub>CIE</sub>	30.57	1.41	-46.46	46.49	272

Dreiecks-Helligkeit  $t^*$

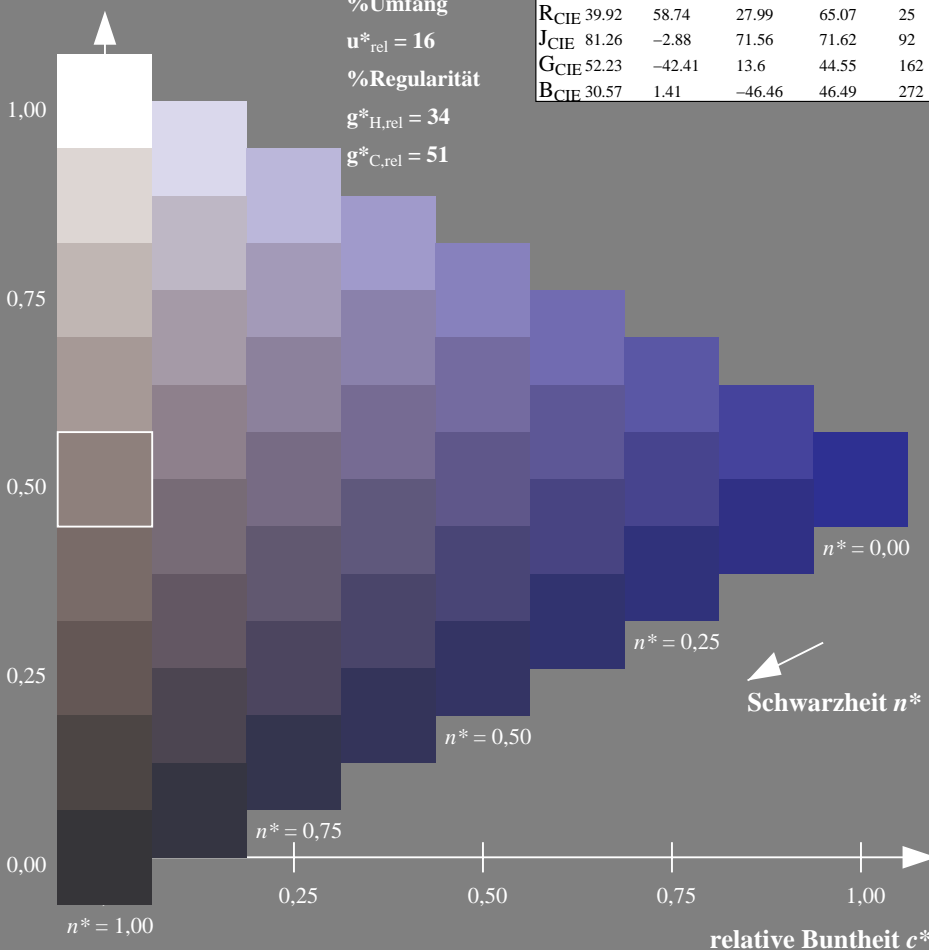
%Umfang

$u^*_{rel} = 16$

%Regularität

$g^*_{H,rel} = 34$

$g^*_{C,rel} = 51$



Ausgabe: Farbmimetrisches Fernseh-Licht-System TLS70

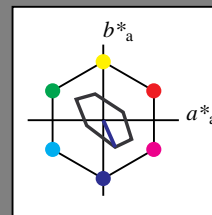
für Buntton  $h^* = lab^*h = 294/360 = 0.816$

$lab^*tch$  und  $lab^*nch$

D65: Buntton V

LCH\*Ma: 72 39 294

olv\*Ma: 0.0 0.0 1.0



TLS70; adaptierte CIELAB-Daten					
	$L^*=L^*_a$	$a^*_a$	$b^*_a$	$C^*_{ab,a}$	$h^*_{ab,a}$
O <sub>Ma</sub>	76.43	26.27	10.57	28.32	22
Y <sub>Ma</sub>	93.93	-10.76	34.63	36.27	107
L <sub>Ma</sub>	89.32	-35.8	27.64	45.24	142
C <sub>Ma</sub>	90.93	-21.95	-7.07	23.07	198
V <sub>Ma</sub>	72.1	15.76	-35.63	38.97	294
M <sub>Ma</sub>	78.5	37.52	-25.23	45.22	326
N <sub>Ma</sub>	69.7	0.0	0.0	0.0	0
W <sub>Ma</sub>	95.41	0.0	0.0	0.0	0
R <sub>CIE</sub>	39.92	58.74	27.99	65.07	25
J <sub>CIE</sub>	81.26	-2.88	71.56	71.62	92
G <sub>CIE</sub>	52.23	-42.41	13.6	44.55	162
B <sub>CIE</sub>	30.57	1.41	-46.46	46.49	272

Dreiecks-Helligkeit  $t^*$

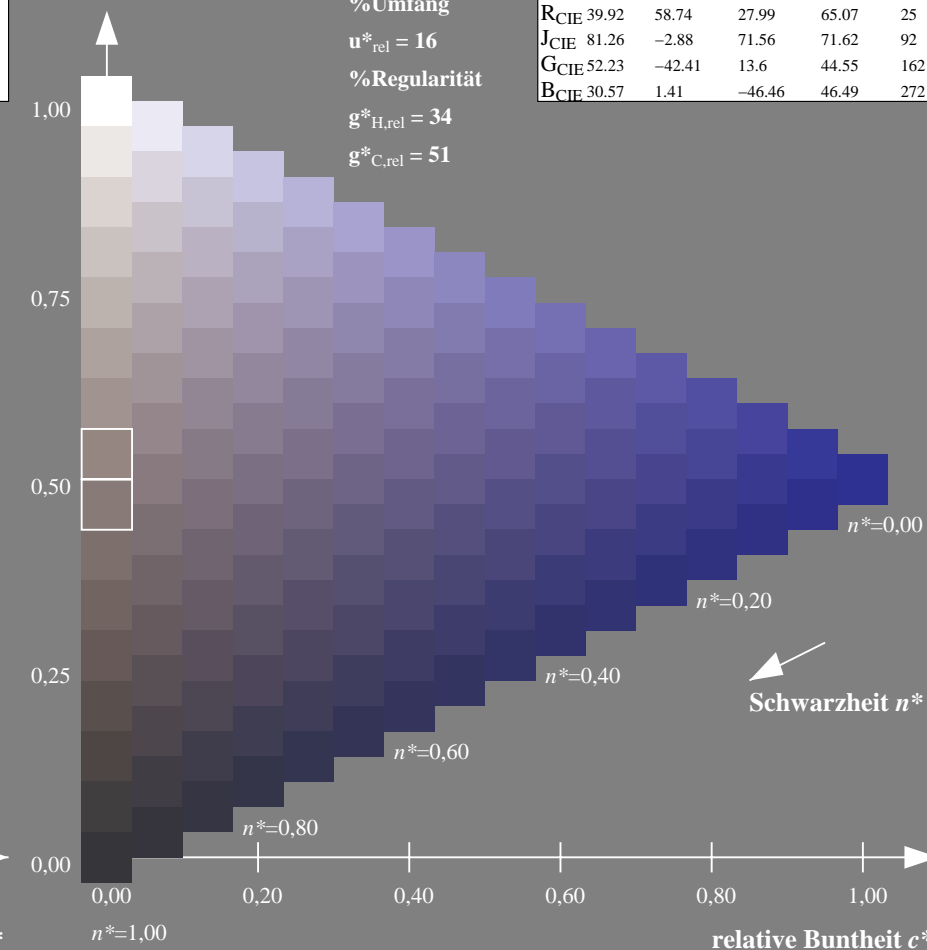
%Umfang

$u^*_{rel} = 16$

%Regularität

$g^*_{H,rel} = 34$

$g^*_{C,rel} = 51$



OG990-7, 9stufige Reihen für konstanten CIELAB Buntton 294/360 = 0.816 (links)

16stufige Reihen für konstanten CIELAB Buntton 294/360 = 0.816 (rechts)

BAM-Prüfvorlage OG99; Farbmimetrik-Systeme TLS70 & TLS70 input:  $cmY0^* setcmykcolor$

D65: 9 und 16stufige Farbreihen für 10 Bunttöne

output: no change compared to input

Eingabe: Farbmimetrisches Fernseh-Licht-System TLS70

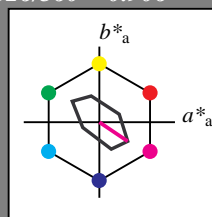
für Buntton  $h^* = lab^*h = 326/360 = 0.906$

$lab^*tch$  und  $lab^*nch$

D65: Buntton M

LCH\*Ma: 79 45 326

olv\*Ma: 1.0 0.0 1.0



TLS70; adaptierte CIELAB-Daten					
	$L^*=L^*_a$	$a^*_a$	$b^*_a$	$C^*_{ab,a}$	$h^*_{ab,a}$
O <sub>Ma</sub>	76.43	26.27	10.57	28.32	22
Y <sub>Ma</sub>	93.93	-10.76	34.63	36.27	107
L <sub>Ma</sub>	89.32	-35.8	27.64	45.24	142
C <sub>Ma</sub>	90.93	-21.95	-7.07	23.07	198
V <sub>Ma</sub>	72.1	15.76	-35.63	38.97	294
M <sub>Ma</sub>	78.5	37.52	-25.23	45.22	326
N <sub>Ma</sub>	69.7	0.0	0.0	0.0	0
W <sub>Ma</sub>	95.41	0.0	0.0	0.0	0
R <sub>CIE</sub>	39.92	58.74	27.99	65.07	25
J <sub>CIE</sub>	81.26	-2.88	71.56	71.62	92
G <sub>CIE</sub>	52.23	-42.41	13.6	44.55	162
B <sub>CIE</sub>	30.57	1.41	-46.46	46.49	272

Dreiecks-Helligkeit  $t^*$

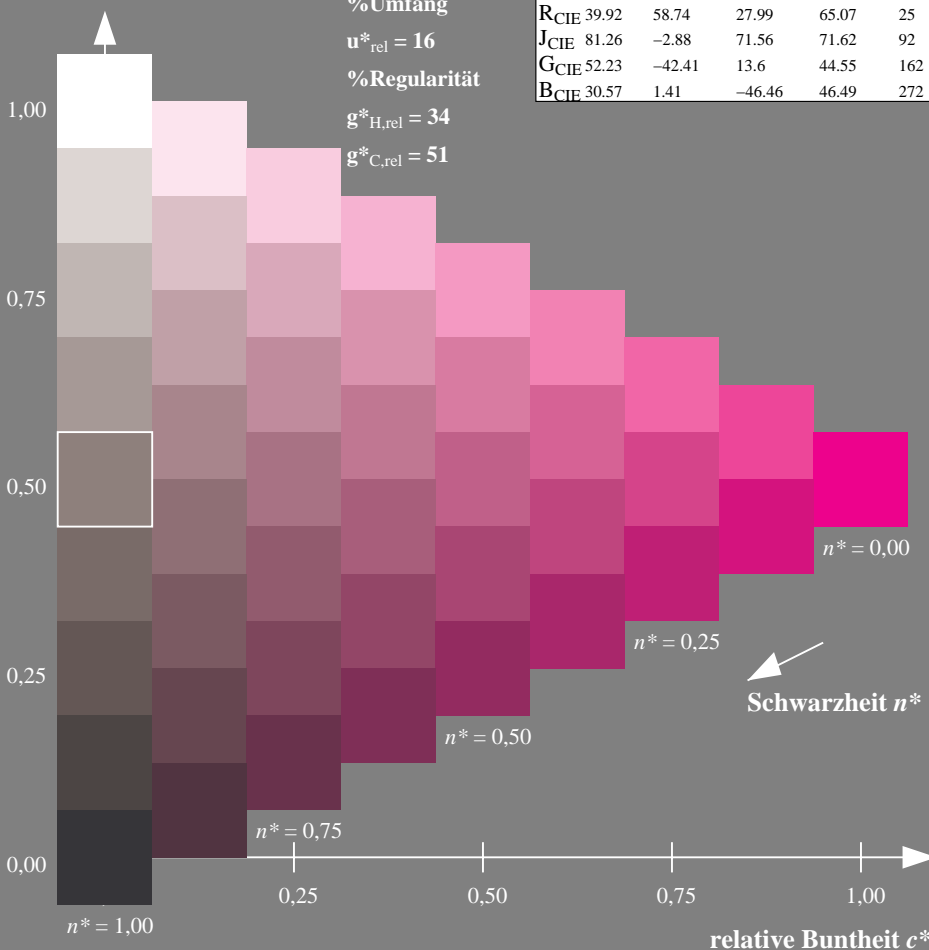
%Umfang

$u^*_{rel} = 16$

%Regularität

$g^*_{H,rel} = 34$

$g^*_{C,rel} = 51$



OG990-7, 9stufige Reihen für konstanten CIELAB Buntton 326/360 = 0.906 (links)

BAM-Prüfvorlage OG99; Farbmimetrik-Systeme TLS70 & TLS70 input: *cmY0\* setcmykcolor*

D65: 9 und 16stufige Farbreihen für 10 Bunttöne

Ausgabe: Farbmimetrisches Fernseh-Licht-System TLS70

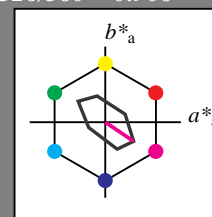
für Buntton  $h^* = lab^*h = 326/360 = 0.906$

$lab^*tch$  und  $lab^*nch$

D65: Buntton M

LCH\*Ma: 79 45 326

olv\*Ma: 1.0 0.0 1.0



TLS70; adaptierte CIELAB-Daten					
	$L^*=L^*_a$	$a^*_a$	$b^*_a$	$C^*_{ab,a}$	$h^*_{ab,a}$
O <sub>Ma</sub>	76.43	26.27	10.57	28.32	22
Y <sub>Ma</sub>	93.93	-10.76	34.63	36.27	107
L <sub>Ma</sub>	89.32	-35.8	27.64	45.24	142
C <sub>Ma</sub>	90.93	-21.95	-7.07	23.07	198
V <sub>Ma</sub>	72.1	15.76	-35.63	38.97	294
M <sub>Ma</sub>	78.5	37.52	-25.23	45.22	326
N <sub>Ma</sub>	69.7	0.0	0.0	0.0	0
W <sub>Ma</sub>	95.41	0.0	0.0	0.0	0
R <sub>CIE</sub>	39.92	58.74	27.99	65.07	25
J <sub>CIE</sub>	81.26	-2.88	71.56	71.62	92
G <sub>CIE</sub>	52.23	-42.41	13.6	44.55	162
B <sub>CIE</sub>	30.57	1.41	-46.46	46.49	272

Dreiecks-Helligkeit  $t^*$

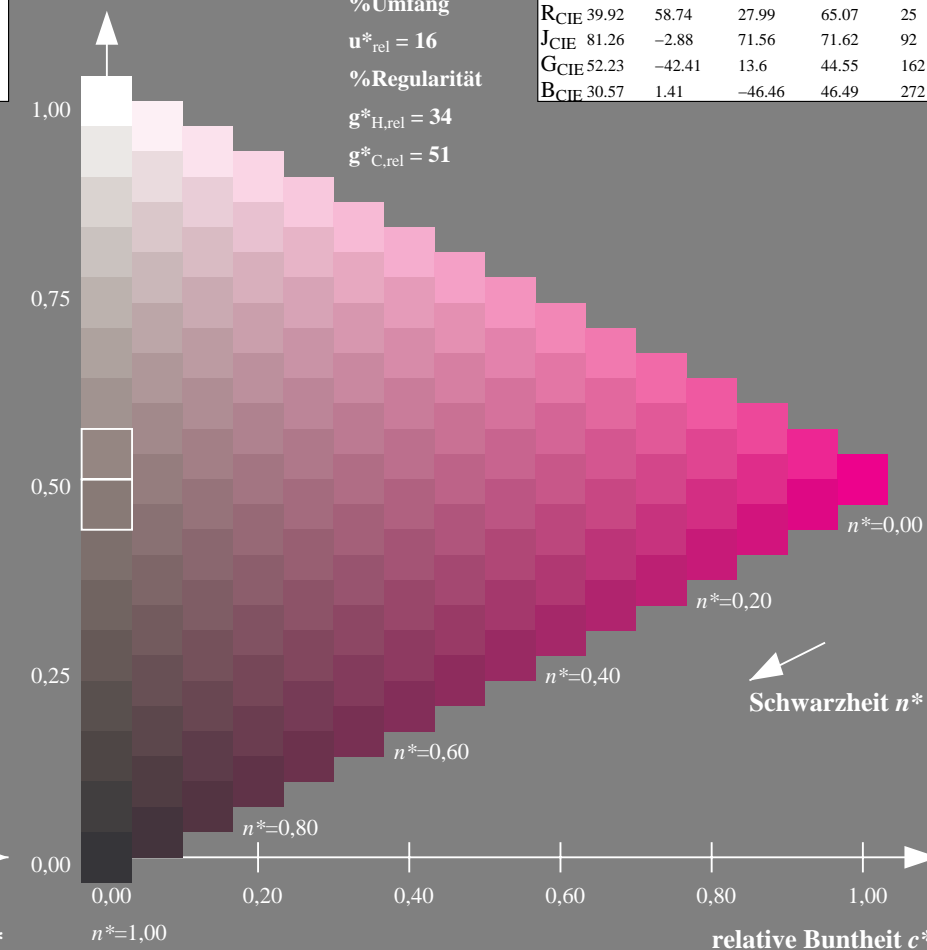
%Umfang

$u^*_{rel} = 16$

%Regularität

$g^*_{H,rel} = 34$

$g^*_{C,rel} = 51$



16stufige Reihen für konstanten CIELAB Buntton 326/360 = 0.906 (rechts)

output: *no change compared to input*

Eingabe: Farbmétrisches Fernseh-Licht-System TLS70

für Buntton  $h^* = lab^*h = 25/360 = 0.071$

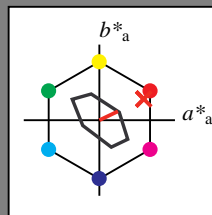
$lab^*tch$  und  $lab^*nch$

D65: Buntton R

LCH\*Ma: 77 27 25

olv\*Ma: 1.0 0.05 0.0

Dreiecks-Helligkeit  $t^*$



%Umfang

$u^*_{rel} = 16$

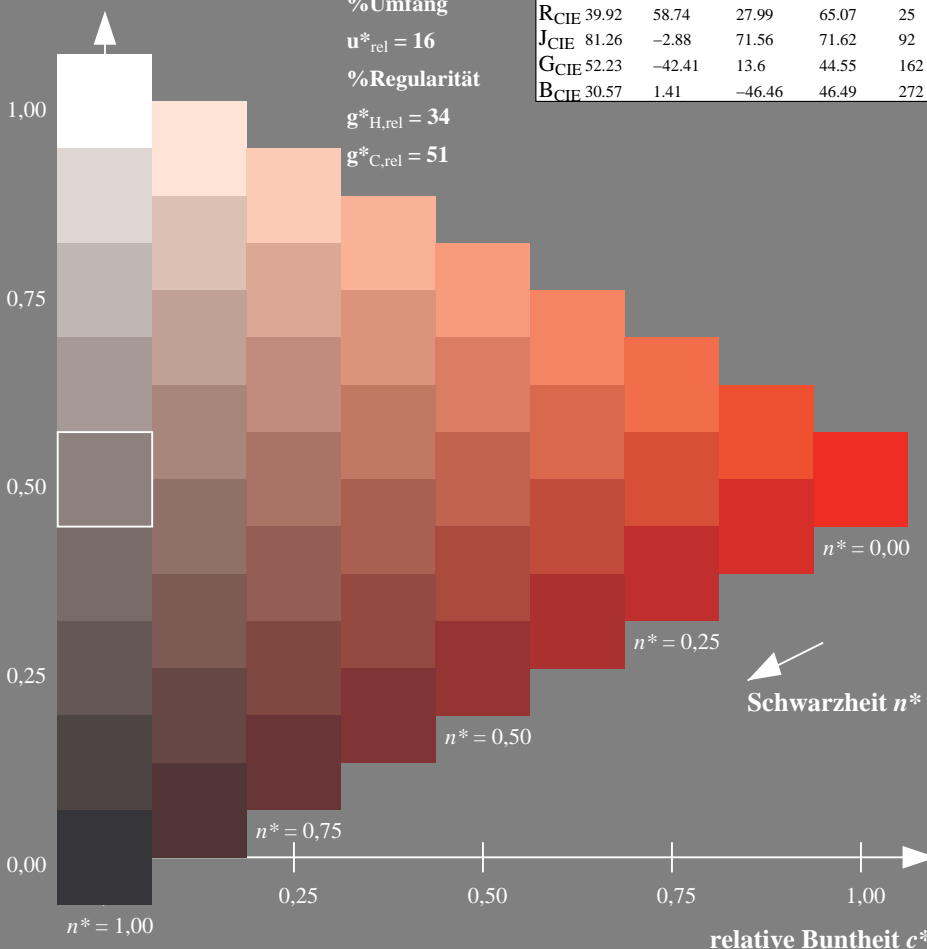
%Regularität

$g^*_{H,rel} = 34$

$g^*_{C,rel} = 51$

TLS70; adaptierte CIELAB-Daten

	$L^*=L^*_a$	$a^*_a$	$b^*_a$	$C^*_{ab,a}$	$h^*_{ab,a}$
O <sub>Ma</sub>	76.43	26.27	10.57	28.32	22
Y <sub>Ma</sub>	93.93	-10.76	34.63	36.27	107
L <sub>Ma</sub>	89.32	-35.8	27.64	45.24	142
C <sub>Ma</sub>	90.93	-21.95	-7.07	23.07	198
V <sub>Ma</sub>	72.1	15.76	-35.63	38.97	294
M <sub>Ma</sub>	78.5	37.52	-25.23	45.22	326
N <sub>Ma</sub>	69.7	0.0	0.0	0.0	0
W <sub>Ma</sub>	95.41	0.0	0.0	0.0	0
R <sub>CIE</sub>	39.92	58.74	27.99	65.07	25
J <sub>CIE</sub>	81.26	-2.88	71.56	71.62	92
G <sub>CIE</sub>	52.23	-42.41	13.6	44.55	162
B <sub>CIE</sub>	30.57	1.41	-46.46	46.49	272



OG990-7, 9stufige Reihen für konstanten CIELAB Buntton 25/360 = 0.071 (links)

BAM-Prüfvorlage OG99; Farbmétrik-Systeme TLS70 & TLS70 input:  $cmY0^* setcmykcolor$

D65: 9 und 16stufige Farbreihen für 10 Bunttöne

Ausgabe: Farbmétrisches Fernseh-Licht-System TLS70

für Buntton  $h^* = lab^*h = 25/360 = 0.071$

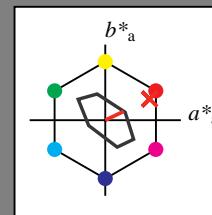
$lab^*tch$  und  $lab^*nch$

D65: Buntton R

LCH\*Ma: 77 27 25

olv\*Ma: 1.0 0.05 0.0

Dreiecks-Helligkeit  $t^*$



%Umfang

$u^*_{rel} = 16$

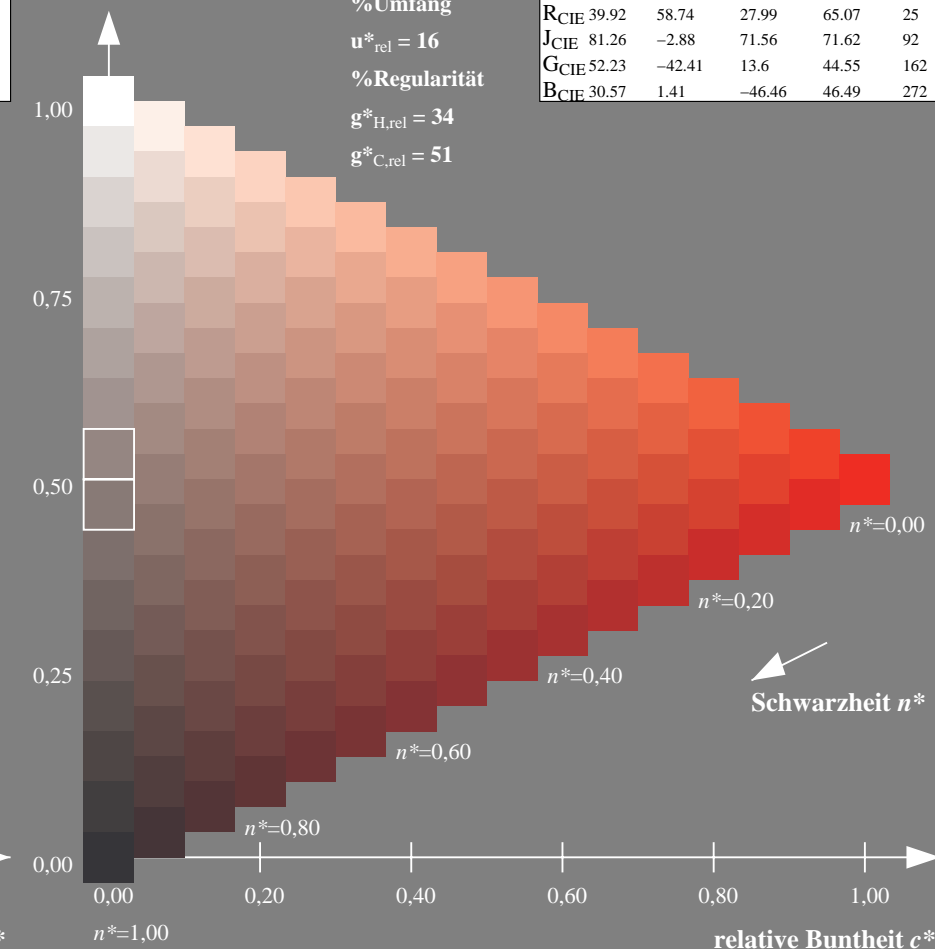
%Regularität

$g^*_{H,rel} = 34$

$g^*_{C,rel} = 51$

TLS70; adaptierte CIELAB-Daten

	$L^*=L^*_a$	$a^*_a$	$b^*_a$	$C^*_{ab,a}$	$h^*_{ab,a}$
O <sub>Ma</sub>	76.43	26.27	10.57	28.32	22
Y <sub>Ma</sub>	93.93	-10.76	34.63	36.27	107
L <sub>Ma</sub>	89.32	-35.8	27.64	45.24	142
C <sub>Ma</sub>	90.93	-21.95	-7.07	23.07	198
V <sub>Ma</sub>	72.1	15.76	-35.63	38.97	294
M <sub>Ma</sub>	78.5	37.52	-25.23	45.22	326
N <sub>Ma</sub>	69.7	0.0	0.0	0.0	0
W <sub>Ma</sub>	95.41	0.0	0.0	0.0	0
R <sub>CIE</sub>	39.92	58.74	27.99	65.07	25
J <sub>CIE</sub>	81.26	-2.88	71.56	71.62	92
G <sub>CIE</sub>	52.23	-42.41	13.6	44.55	162
B <sub>CIE</sub>	30.57	1.41	-46.46	46.49	272



16stufige Reihen für konstanten CIELAB Buntton 25/360 = 0.071 (rechts)

output: no change compared to input



Eingabe: Farbmétrisches Fernseh-Licht-System TLS70

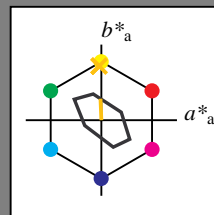
für Buntton  $h^* = lab^*h = 92/360 = 0.256$

$lab^*tch$  und  $lab^*nch$

D65: Buntton J

LCH\*Ma: 89 28 92

olv\*Ma: 1.0 0.74 0.0



TLS70; adaptierte CIELAB-Daten					
$L^*=L^*_a$	$a^*_a$	$b^*_a$	$C^*_{ab,a}$	$h^*_{ab,a}$	
O <sub>Ma</sub>	76.43	26.27	10.57	28.32	22
Y <sub>Ma</sub>	93.93	-10.76	34.63	36.27	107
L <sub>Ma</sub>	89.32	-35.8	27.64	45.24	142
C <sub>Ma</sub>	90.93	-21.95	-7.07	23.07	198
V <sub>Ma</sub>	72.1	15.76	-35.63	38.97	294
M <sub>Ma</sub>	78.5	37.52	-25.23	45.22	326
N <sub>Ma</sub>	69.7	0.0	0.0	0.0	0
W <sub>Ma</sub>	95.41	0.0	0.0	0.0	0
R <sub>CIE</sub>	39.92	58.74	27.99	65.07	25
J <sub>CIE</sub>	81.26	-2.88	71.56	71.62	92
G <sub>CIE</sub>	52.23	-42.41	13.6	44.55	162
B <sub>CIE</sub>	30.57	1.41	-46.46	46.49	272

Dreiecks-Helligkeit  $t^*$

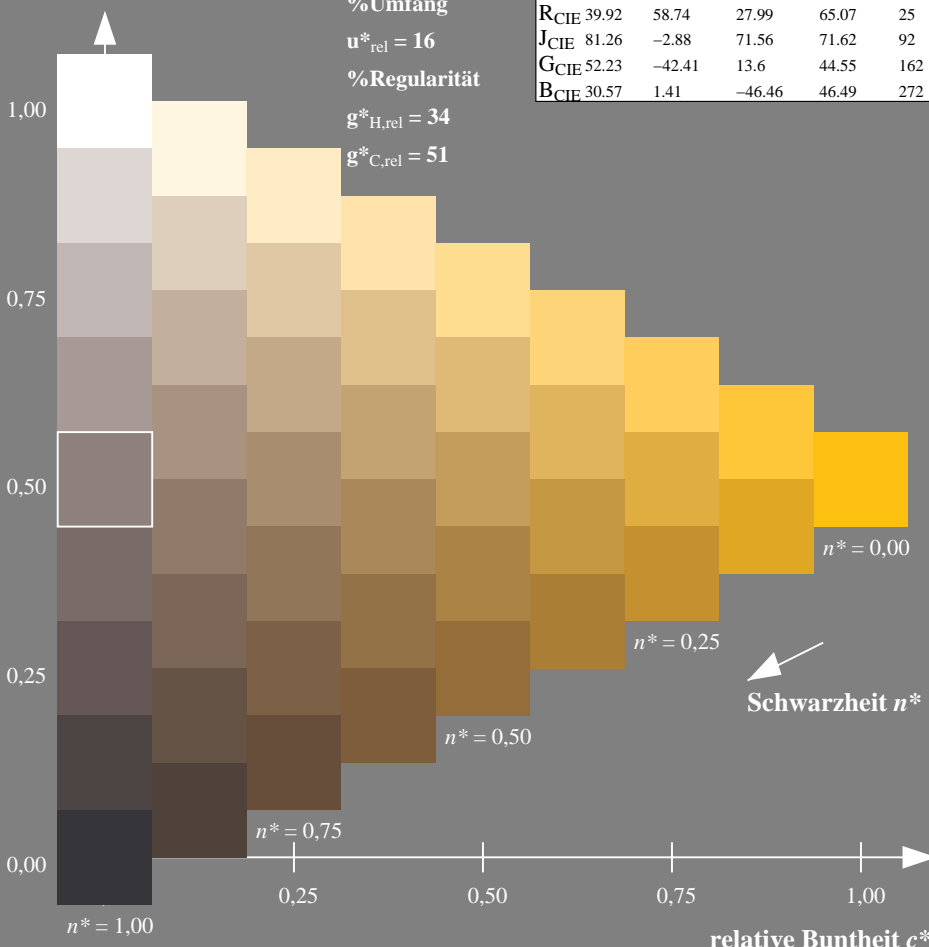
%Umfang

$u^*_{rel} = 16$

%Regularität

$g^*_{H,rel} = 34$

$g^*_{C,rel} = 51$



OG990-7, 9stufige Reihen für konstanten CIELAB Buntton 92/360 = 0.256 (links)

BAM-Prüfvorlage OG99; Farbmétrik-Systeme TLS70 & TLS70 input:  $cmY0^* setcmykcolor$

D65: 9 und 16stufige Farbreihen für 10 Bunttöne

Ausgabe: Farbmétrisches Fernseh-Licht-System TLS70

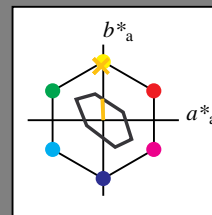
für Buntton  $h^* = lab^*h = 92/360 = 0.256$

$lab^*tch$  und  $lab^*nch$

D65: Buntton J

LCH\*Ma: 89 28 92

olv\*Ma: 1.0 0.74 0.0



TLS70; adaptierte CIELAB-Daten					
$L^*=L^*_a$	$a^*_a$	$b^*_a$	$C^*_{ab,a}$	$h^*_{ab,a}$	
O <sub>Ma</sub>	76.43	26.27	10.57	28.32	22
Y <sub>Ma</sub>	93.93	-10.76	34.63	36.27	107
L <sub>Ma</sub>	89.32	-35.8	27.64	45.24	142
C <sub>Ma</sub>	90.93	-21.95	-7.07	23.07	198
V <sub>Ma</sub>	72.1	15.76	-35.63	38.97	294
M <sub>Ma</sub>	78.5	37.52	-25.23	45.22	326
N <sub>Ma</sub>	69.7	0.0	0.0	0.0	0
W <sub>Ma</sub>	95.41	0.0	0.0	0.0	0
R <sub>CIE</sub>	39.92	58.74	27.99	65.07	25
J <sub>CIE</sub>	81.26	-2.88	71.56	71.62	92
G <sub>CIE</sub>	52.23	-42.41	13.6	44.55	162
B <sub>CIE</sub>	30.57	1.41	-46.46	46.49	272

Dreiecks-Helligkeit  $t^*$

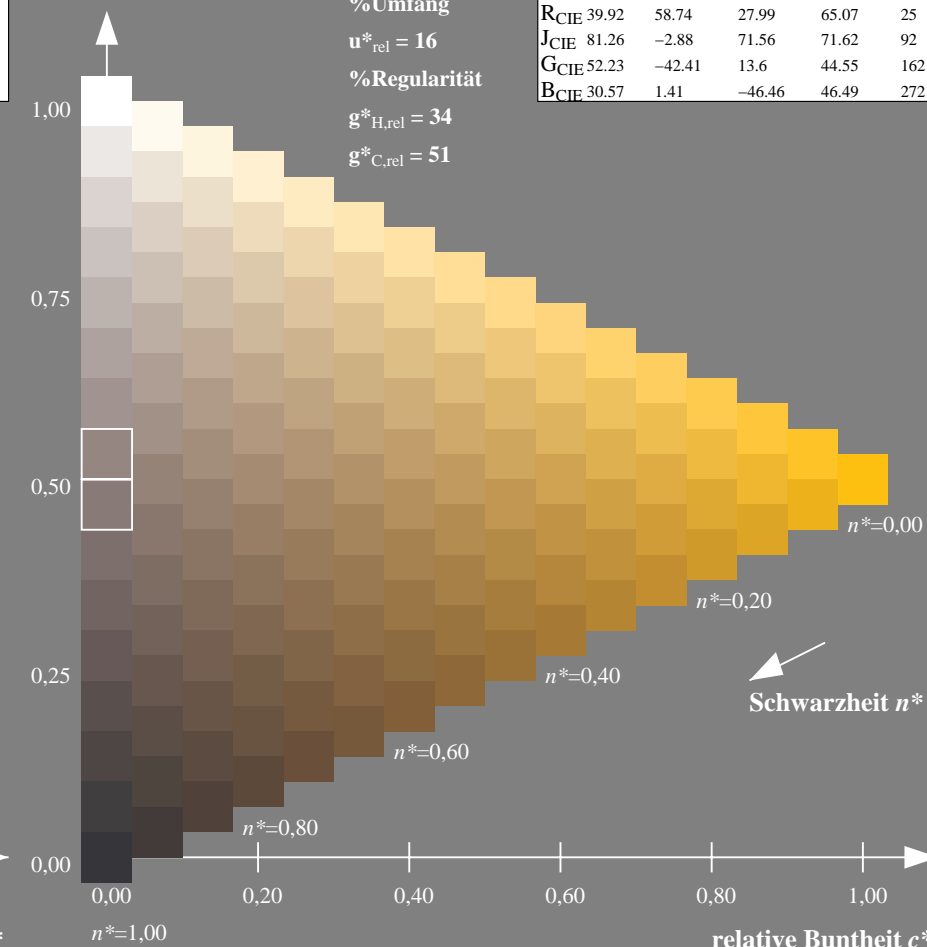
%Umfang

$u^*_{rel} = 16$

%Regularität

$g^*_{H,rel} = 34$

$g^*_{C,rel} = 51$



16stufige Reihen für konstanten CIELAB Buntton 92/360 = 0.256 (rechts)

output: no change compared to input



Eingabe: Farbmimetrisches Fernseh-Licht-System TLS70

für Buntton  $h^* = lab^*h = 162/360 = 0.451$

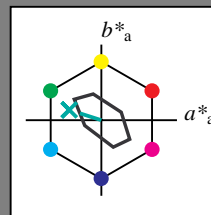
$lab^*tch$  und  $lab^*nch$

D65: Buntton G

LCH\*Ma: 90 30 162

olv\*Ma: 0.0 1.0 0.53

Dreiecks-Helligkeit  $t^*$



%Umfang

$u^*_{rel} = 16$

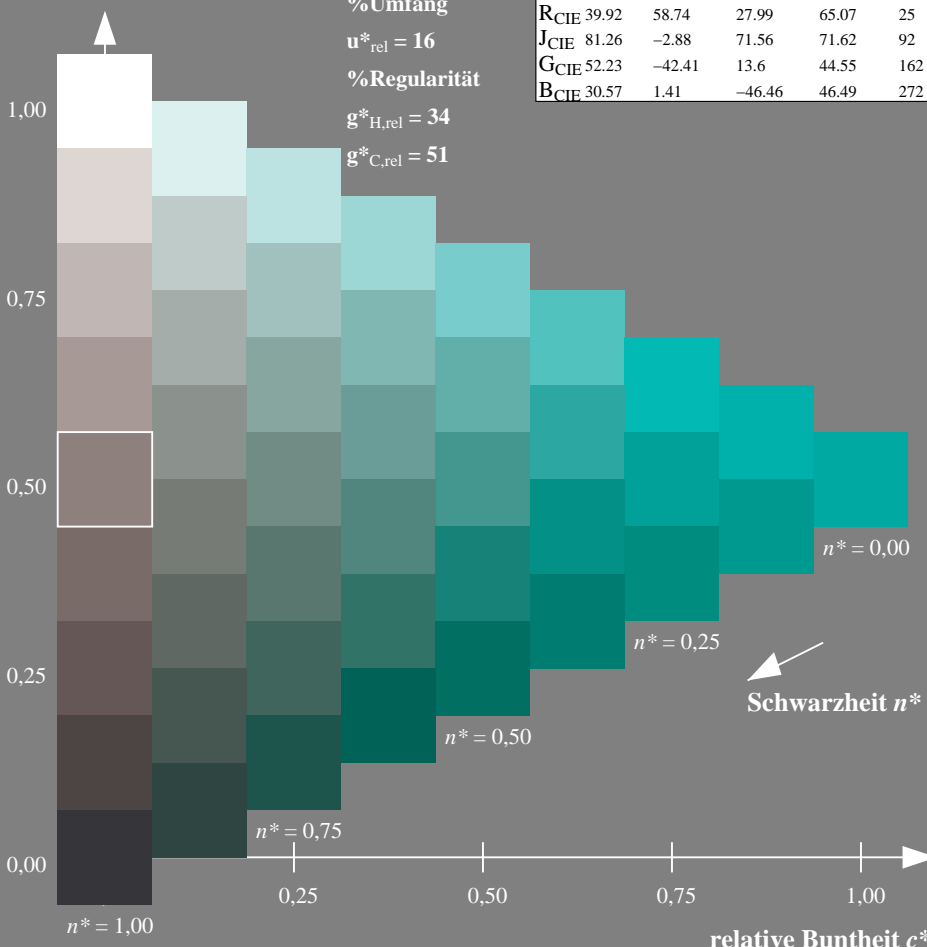
%Regularität

$g^*_{H,rel} = 34$

$g^*_{C,rel} = 51$

TLS70; adaptierte CIELAB-Daten

	$L^*=L^*_a$	$a^*_a$	$b^*_a$	$C^*_{ab,a}$	$h^*_{ab,a}$
O <sub>Ma</sub>	76.43	26.27	10.57	28.32	22
Y <sub>Ma</sub>	93.93	-10.76	34.63	36.27	107
L <sub>Ma</sub>	89.32	-35.8	27.64	45.24	142
C <sub>Ma</sub>	90.93	-21.95	-7.07	23.07	198
V <sub>Ma</sub>	72.1	15.76	-35.63	38.97	294
M <sub>Ma</sub>	78.5	37.52	-25.23	45.22	326
N <sub>Ma</sub>	69.7	0.0	0.0	0.0	0
W <sub>Ma</sub>	95.41	0.0	0.0	0.0	0
R <sub>CIE</sub>	39.92	58.74	27.99	65.07	25
J <sub>CIE</sub>	81.26	-2.88	71.56	71.62	92
G <sub>CIE</sub>	52.23	-42.41	13.6	44.55	162
B <sub>CIE</sub>	30.57	1.41	-46.46	46.49	272



OG990-7, 9stufige Reihen für konstanten CIELAB Buntton 162/360 = 0.451 (links)

BAM-Prüfvorlage OG99; Farbmimetrik-Systeme TLS70 & TLS70 input:  $cmY0^* setcmykcolor$

D65: 9 und 16stufige Farbreihen für 10 Bunttöne

Ausgabe: Farbmimetrisches Fernseh-Licht-System TLS70

für Buntton  $h^* = lab^*h = 162/360 = 0.451$

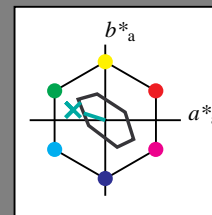
$lab^*tch$  und  $lab^*nch$

D65: Buntton G

LCH\*Ma: 90 30 162

olv\*Ma: 0.0 1.0 0.53

Dreiecks-Helligkeit  $t^*$



%Umfang

$u^*_{rel} = 16$

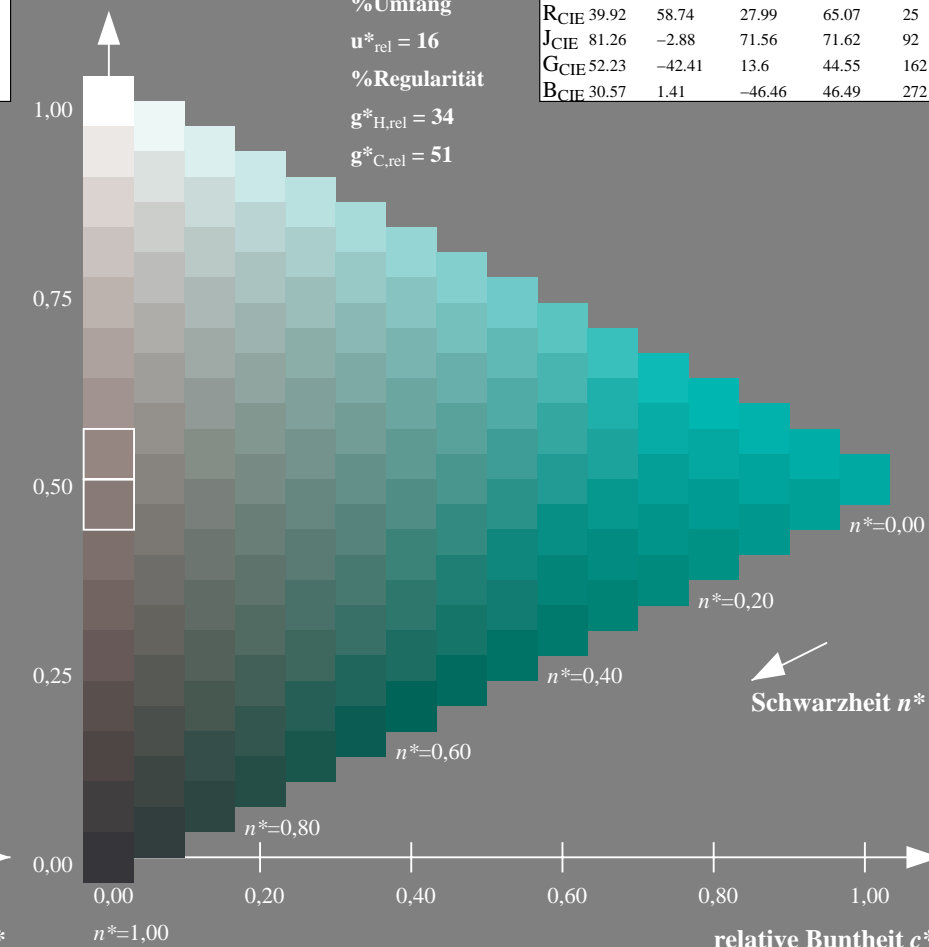
%Regularität

$g^*_{H,rel} = 34$

$g^*_{C,rel} = 51$

TLS70; adaptierte CIELAB-Daten

	$L^*=L^*_a$	$a^*_a$	$b^*_a$	$C^*_{ab,a}$	$h^*_{ab,a}$
O <sub>Ma</sub>	76.43	26.27	10.57	28.32	22
Y <sub>Ma</sub>	93.93	-10.76	34.63	36.27	107
L <sub>Ma</sub>	89.32	-35.8	27.64	45.24	142
C <sub>Ma</sub>	90.93	-21.95	-7.07	23.07	198
V <sub>Ma</sub>	72.1	15.76	-35.63	38.97	294
M <sub>Ma</sub>	78.5	37.52	-25.23	45.22	326
N <sub>Ma</sub>	69.7	0.0	0.0	0.0	0
W <sub>Ma</sub>	95.41	0.0	0.0	0.0	0
R <sub>CIE</sub>	39.92	58.74	27.99	65.07	25
J <sub>CIE</sub>	81.26	-2.88	71.56	71.62	92
G <sub>CIE</sub>	52.23	-42.41	13.6	44.55	162
B <sub>CIE</sub>	30.57	1.41	-46.46	46.49	272



16stufige Reihen für konstanten CIELAB Buntton 162/360 = 0.451 (rechts)

output: no change compared to input

Eingabe: Farbmimetrisches Fernseh-Licht-System TLS70

für Buntton  $h^* = lab^*h = 272/360 = 0.755$

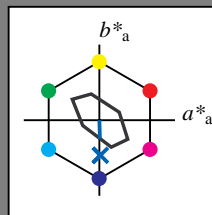
$lab^*tch$  und  $lab^*nch$

D65: Buntton B

LCH\*Ma: 80 24 272

olv\*Ma: 0.0 0.4 1.0

Dreiecks-Helligkeit  $t^*$



%Umfang

$u^*_{rel} = 16$

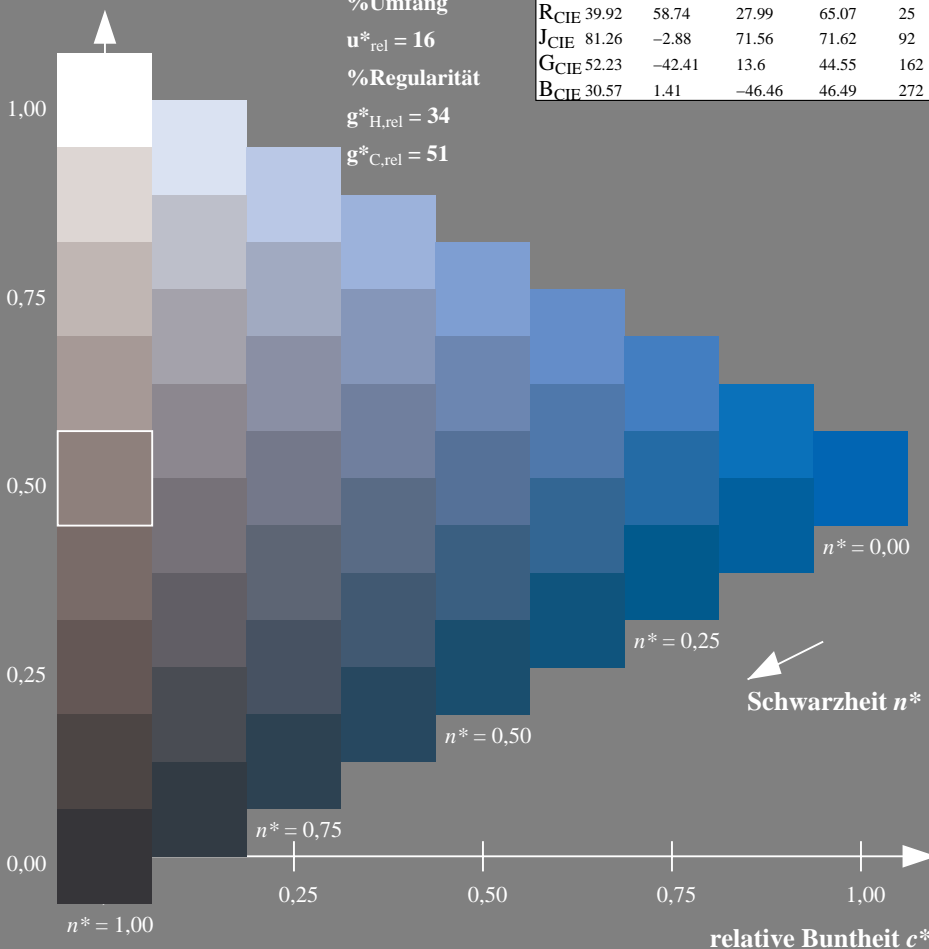
%Regularität

$g^*_{H,rel} = 34$

$g^*_{C,rel} = 51$

TLS70; adaptierte CIELAB-Daten

	$L^*=L^*_a$	$a^*_a$	$b^*_a$	$C^*_{ab,a}$	$h^*_{ab,a}$
O <sub>Ma</sub>	76.43	26.27	10.57	28.32	22
Y <sub>Ma</sub>	93.93	-10.76	34.63	36.27	107
L <sub>Ma</sub>	89.32	-35.8	27.64	45.24	142
C <sub>Ma</sub>	90.93	-21.95	-7.07	23.07	198
V <sub>Ma</sub>	72.1	15.76	-35.63	38.97	294
M <sub>Ma</sub>	78.5	37.52	-25.23	45.22	326
N <sub>Ma</sub>	69.7	0.0	0.0	0.0	0
W <sub>Ma</sub>	95.41	0.0	0.0	0.0	0
R <sub>CIE</sub>	39.92	58.74	27.99	65.07	25
J <sub>CIE</sub>	81.26	-2.88	71.56	71.62	92
G <sub>CIE</sub>	52.23	-42.41	13.6	44.55	162
B <sub>CIE</sub>	30.57	1.41	-46.46	46.49	272



OG990-7, 9stufige Reihen für konstanten CIELAB Buntton 272/360 = 0.755 (links)

BAM-Prüfvorlage OG99; Farbmimetrik-Systeme TLS70 & TLS70 input:  $cmY0^* setcmykcolor$

D65: 9 und 16stufige Farbreihen für 10 Bunttöne

Ausgabe: Farbmimetrisches Fernseh-Licht-System TLS70

für Buntton  $h^* = lab^*h = 272/360 = 0.755$

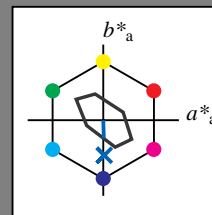
$lab^*tch$  und  $lab^*nch$

D65: Buntton B

LCH\*Ma: 80 24 272

olv\*Ma: 0.0 0.4 1.0

Dreiecks-Helligkeit  $t^*$



%Umfang

$u^*_{rel} = 16$

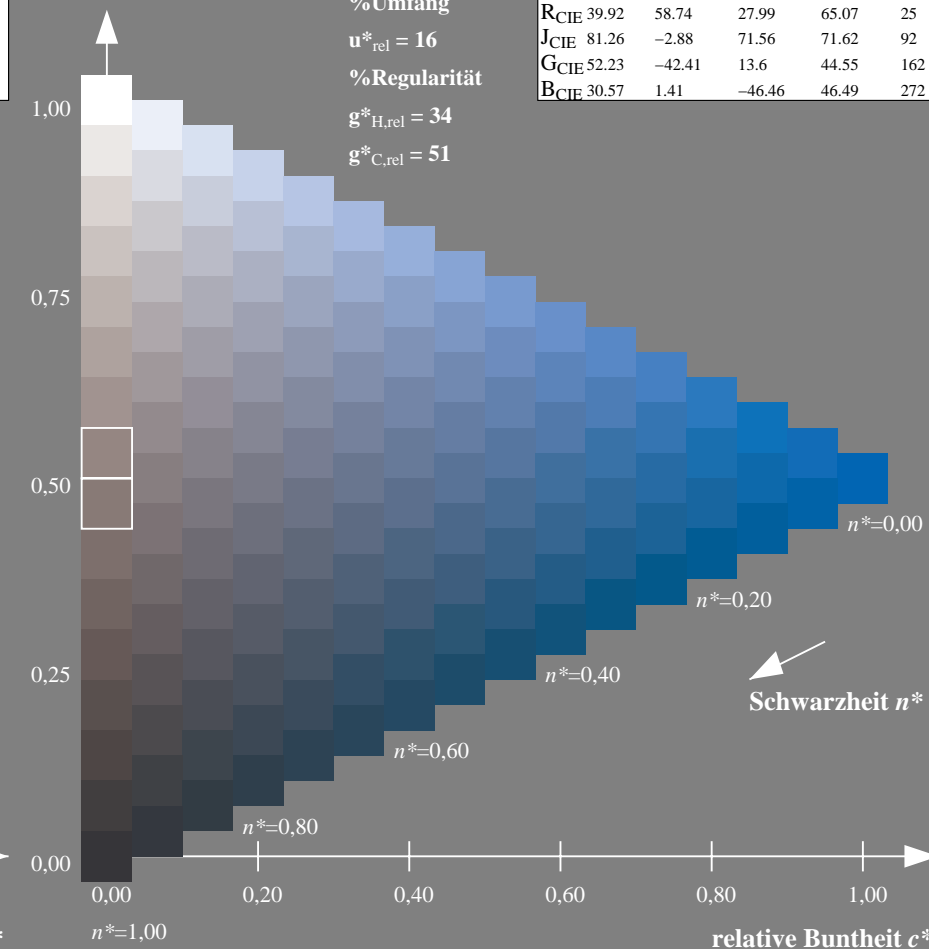
%Regularität

$g^*_{H,rel} = 34$

$g^*_{C,rel} = 51$

TLS70; adaptierte CIELAB-Daten

	$L^*=L^*_a$	$a^*_a$	$b^*_a$	$C^*_{ab,a}$	$h^*_{ab,a}$
O <sub>Ma</sub>	76.43	26.27	10.57	28.32	22
Y <sub>Ma</sub>	93.93	-10.76	34.63	36.27	107
L <sub>Ma</sub>	89.32	-35.8	27.64	45.24	142
C <sub>Ma</sub>	90.93	-21.95	-7.07	23.07	198
V <sub>Ma</sub>	72.1	15.76	-35.63	38.97	294
M <sub>Ma</sub>	78.5	37.52	-25.23	45.22	326
N <sub>Ma</sub>	69.7	0.0	0.0	0.0	0
W <sub>Ma</sub>	95.41	0.0	0.0	0.0	0
R <sub>CIE</sub>	39.92	58.74	27.99	65.07	25
J <sub>CIE</sub>	81.26	-2.88	71.56	71.62	92
G <sub>CIE</sub>	52.23	-42.41	13.6	44.55	162
B <sub>CIE</sub>	30.57	1.41	-46.46	46.49	272



16stufige Reihen für konstanten CIELAB Buntton 272/360 = 0.755 (rechts)

output: no change compared to input